

Fig. 1

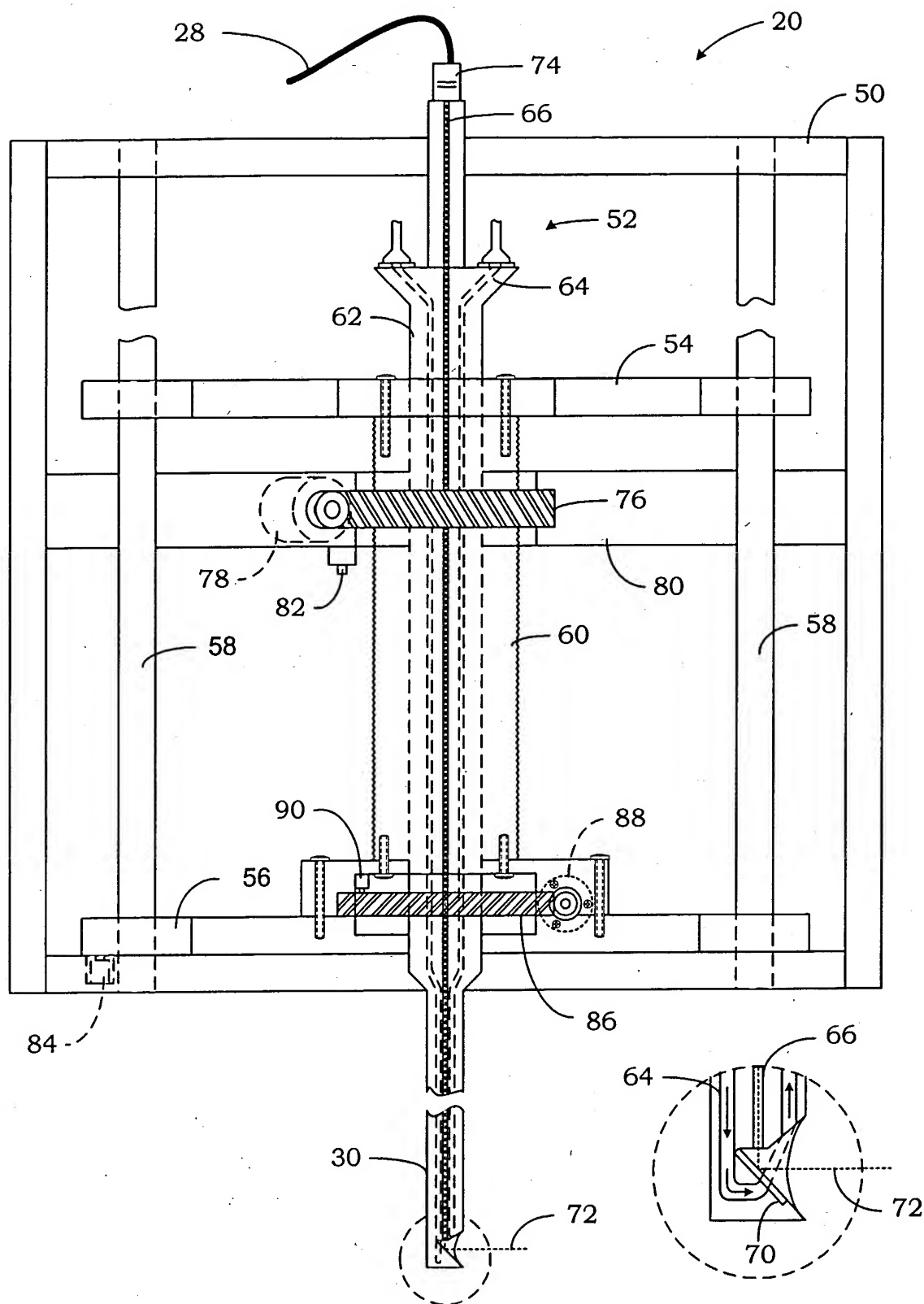


Fig. 2
PRIOR ART

Fig. 2a
PRIOR ART

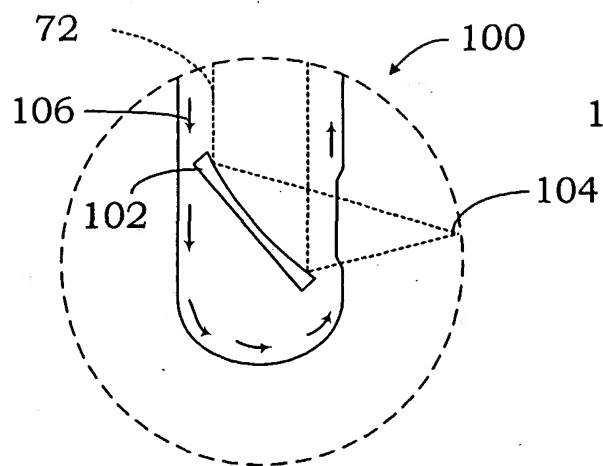


Fig. 3

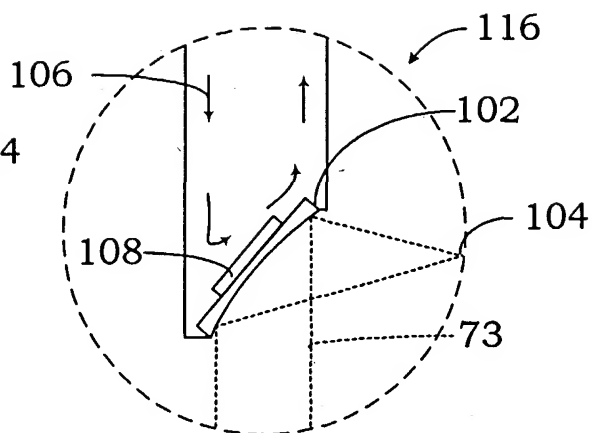


Fig. 6

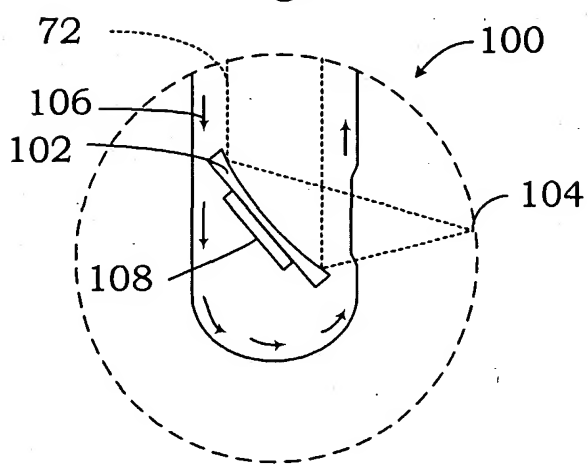


Fig. 4

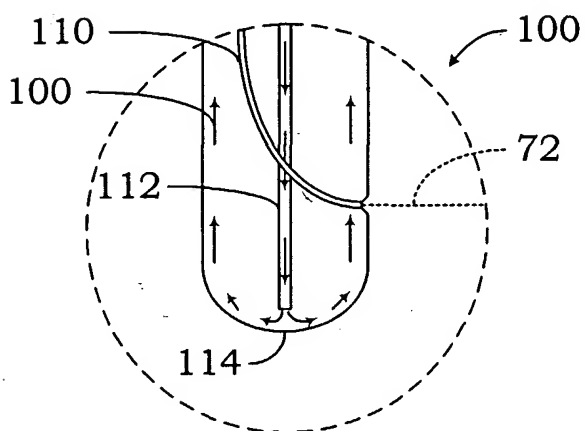


Fig. 5

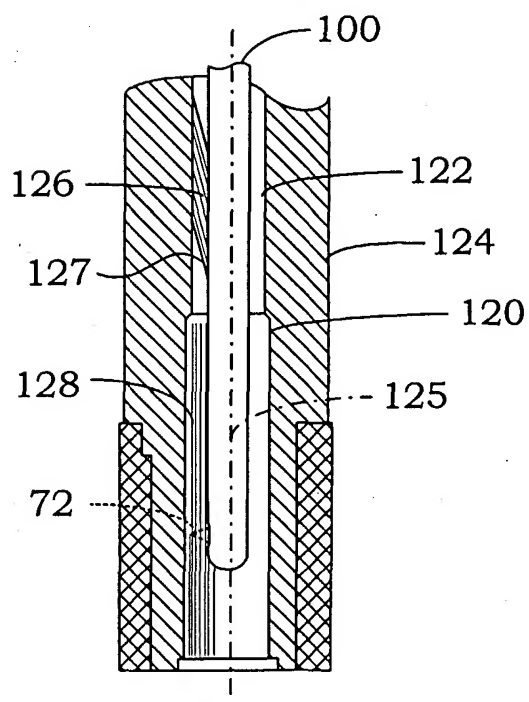
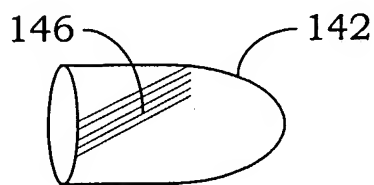
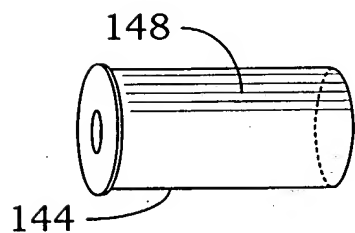
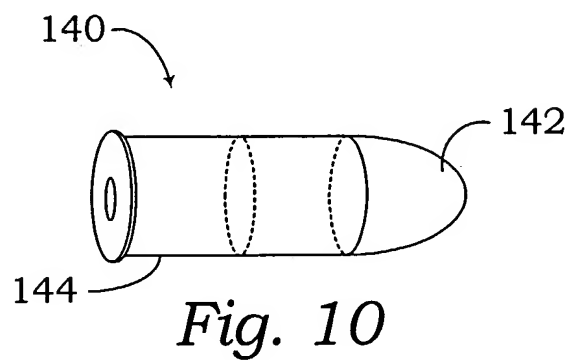
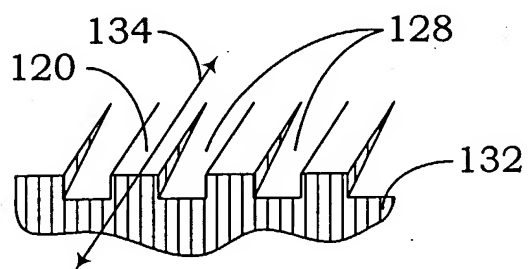
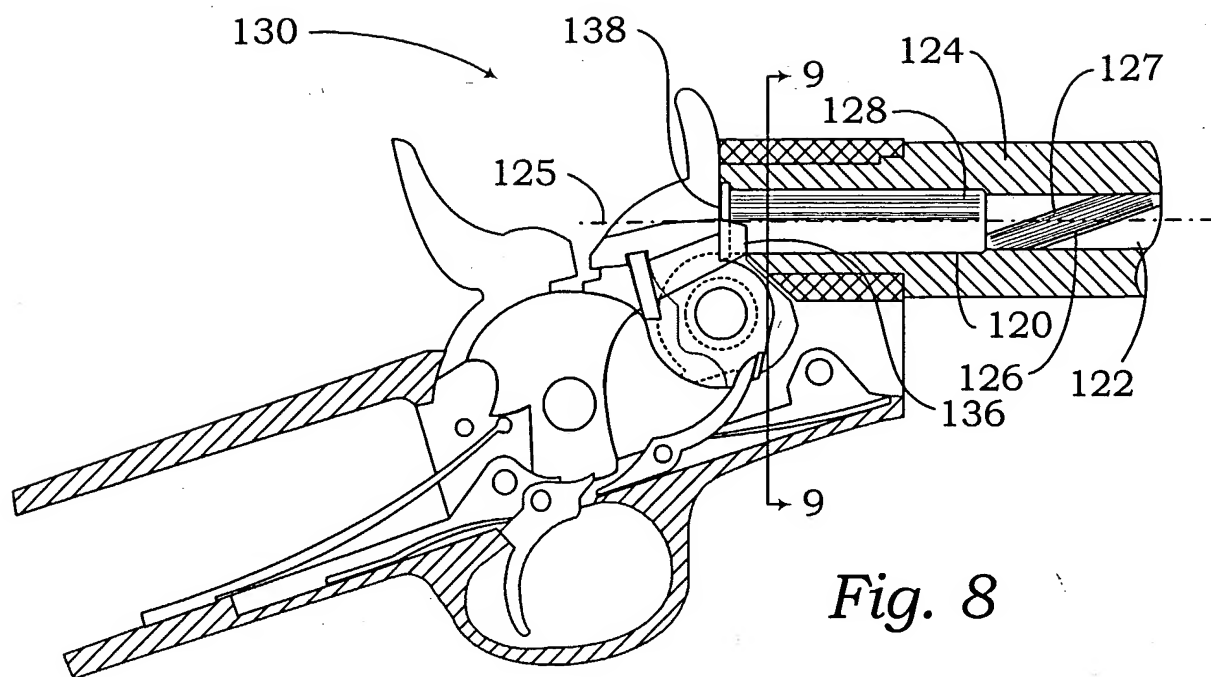


Fig. 7



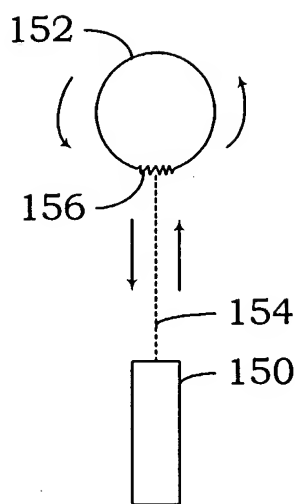


Fig. 13

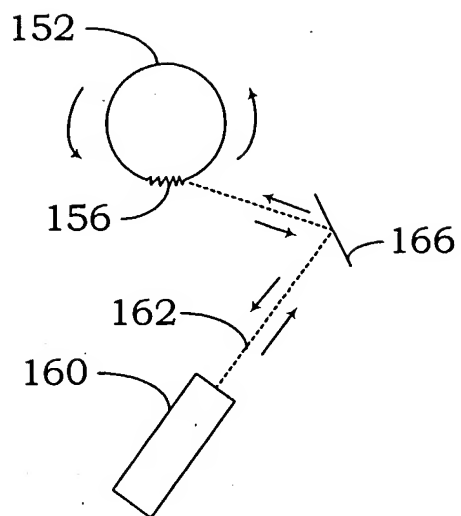


Fig. 14

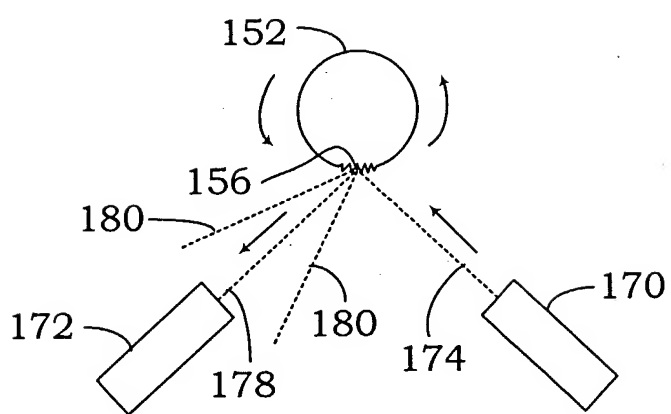


Fig. 15

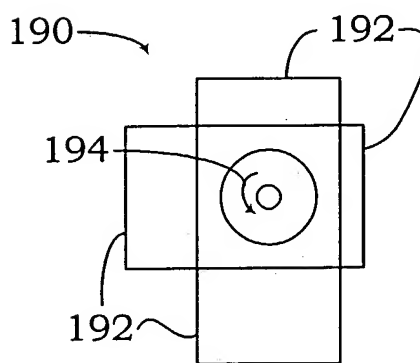


Fig. 16

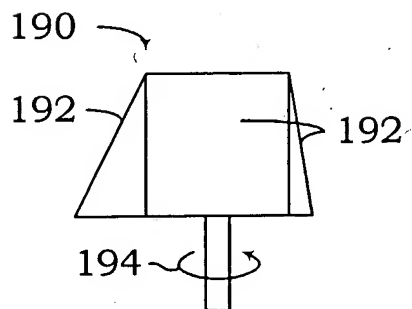


Fig. 17

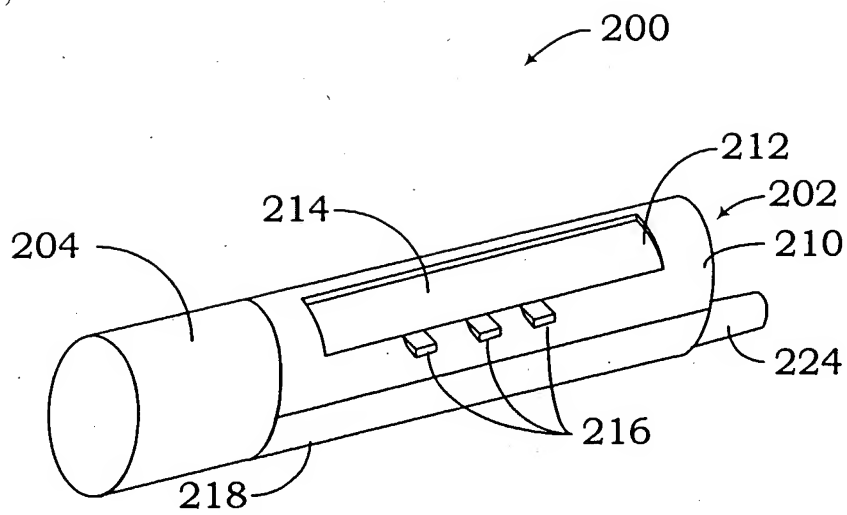


Fig. 18

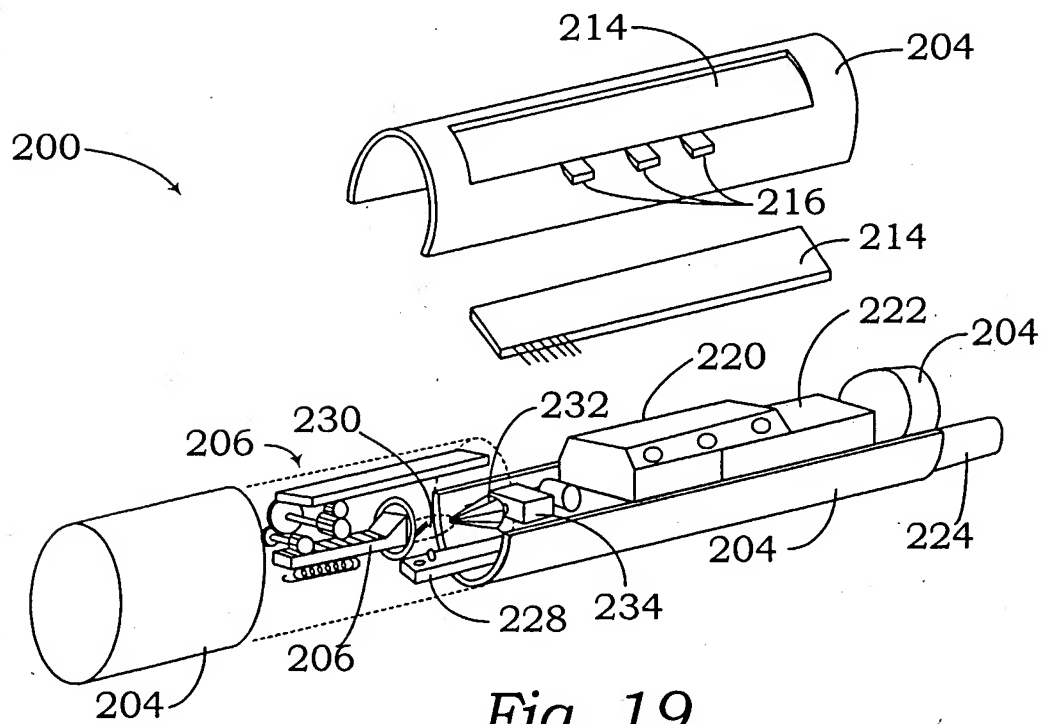


Fig. 19

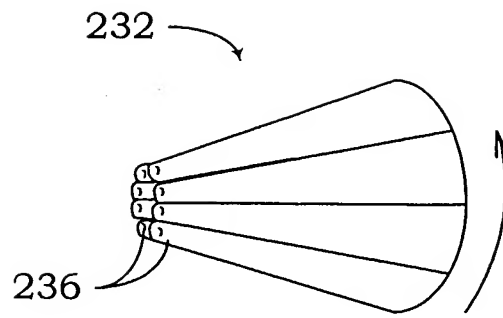


Fig. 20

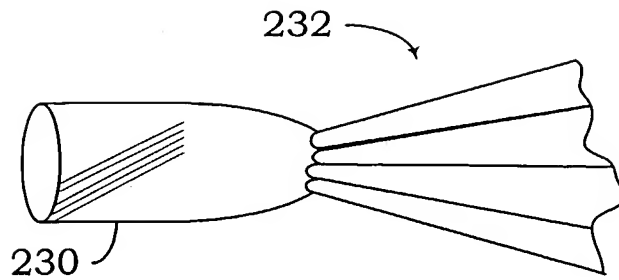


Fig. 21

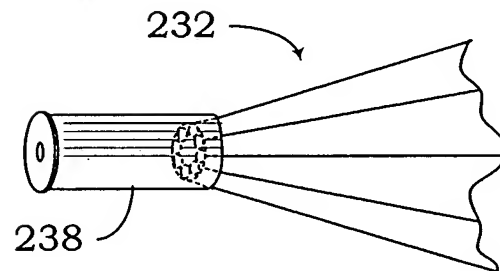


Fig. 22

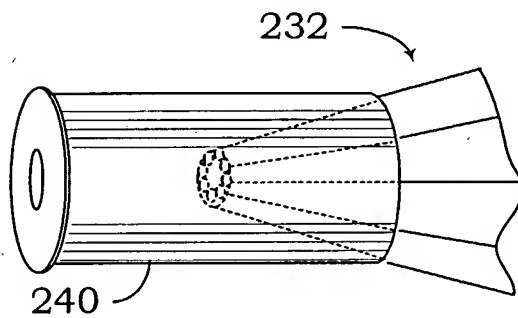


Fig. 23

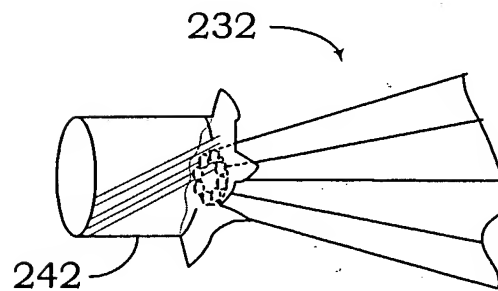


Fig. 24

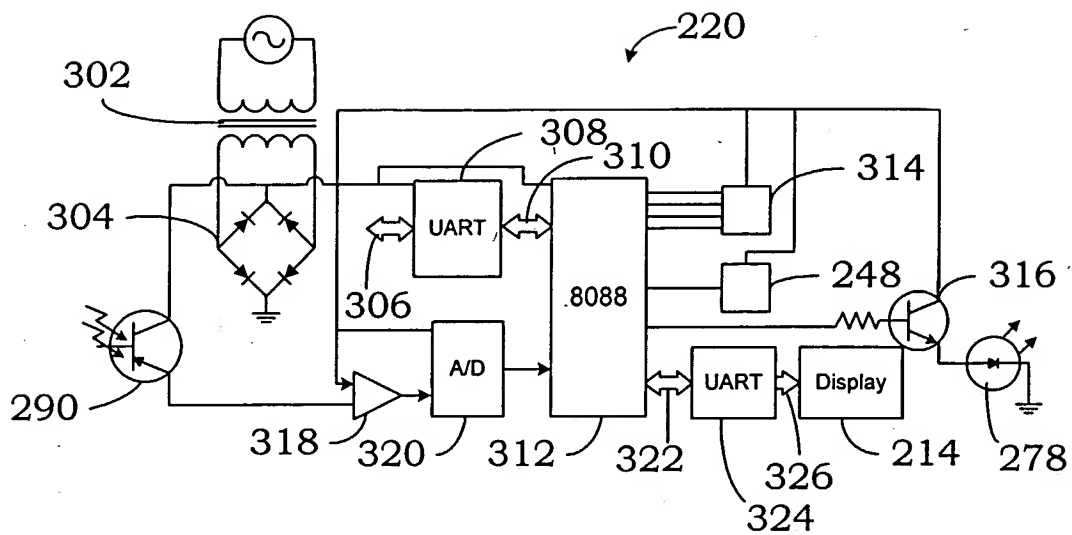


Fig. 25

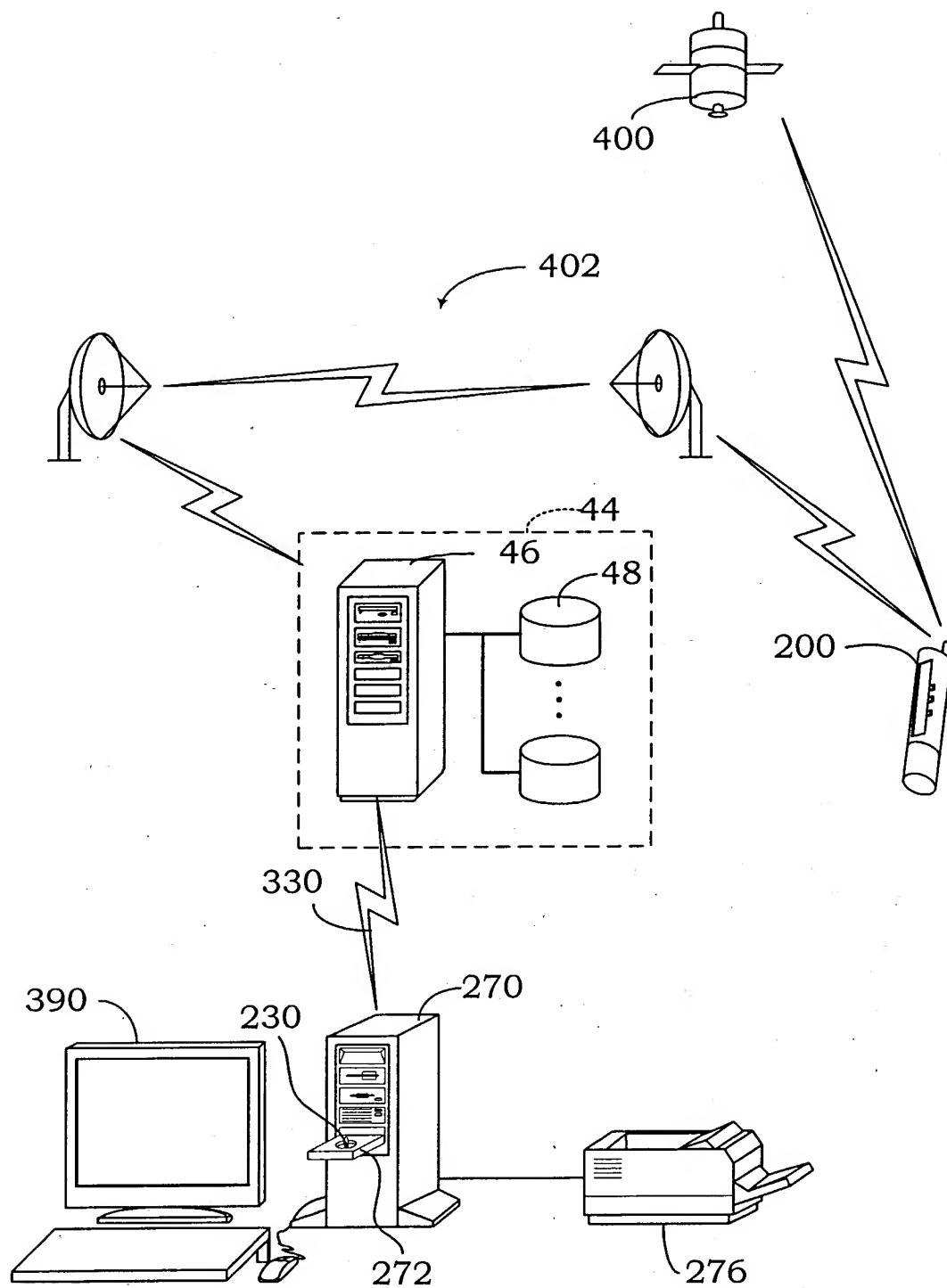


Fig. 26

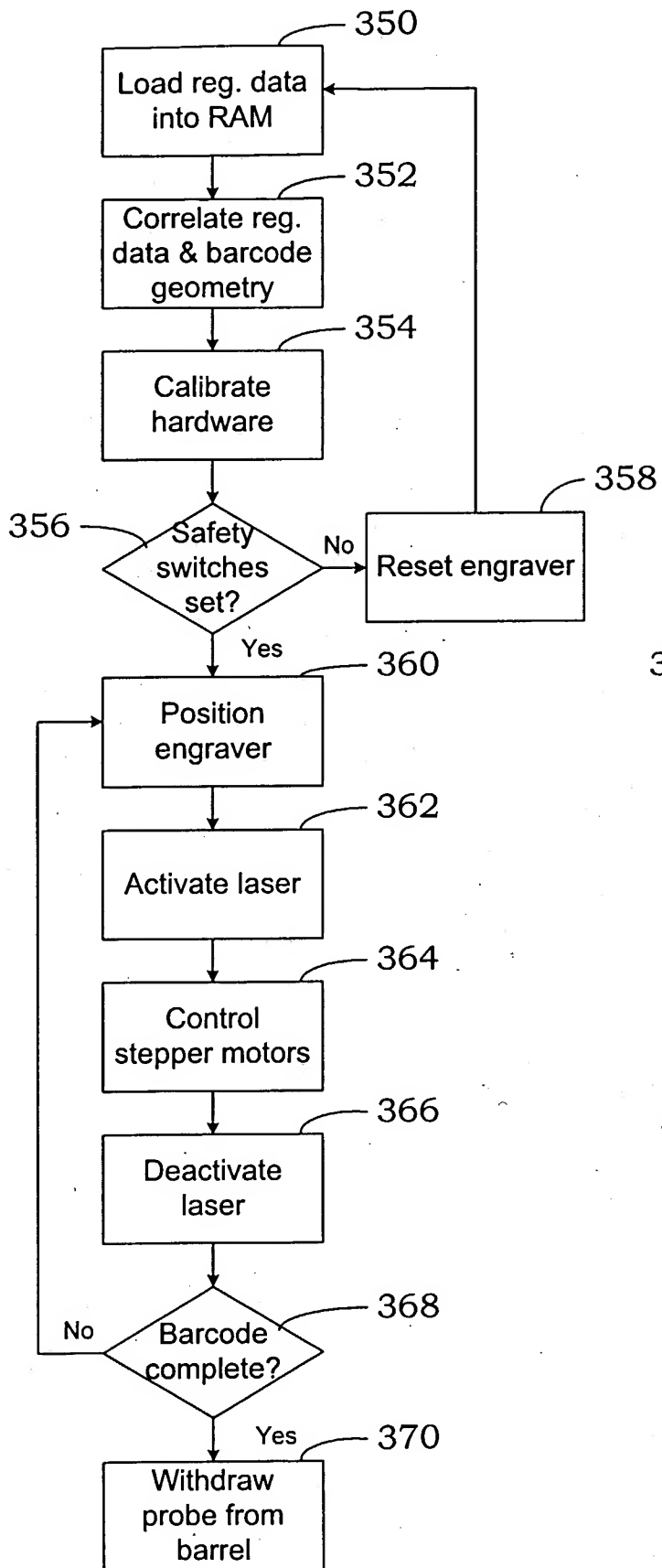


Fig. 27

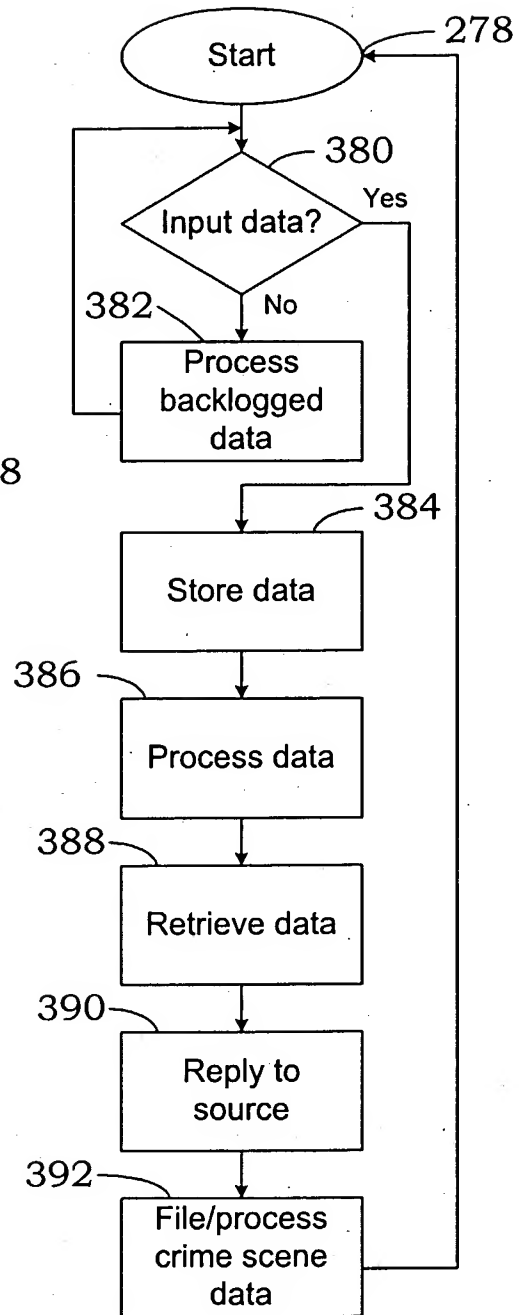


Fig. 28

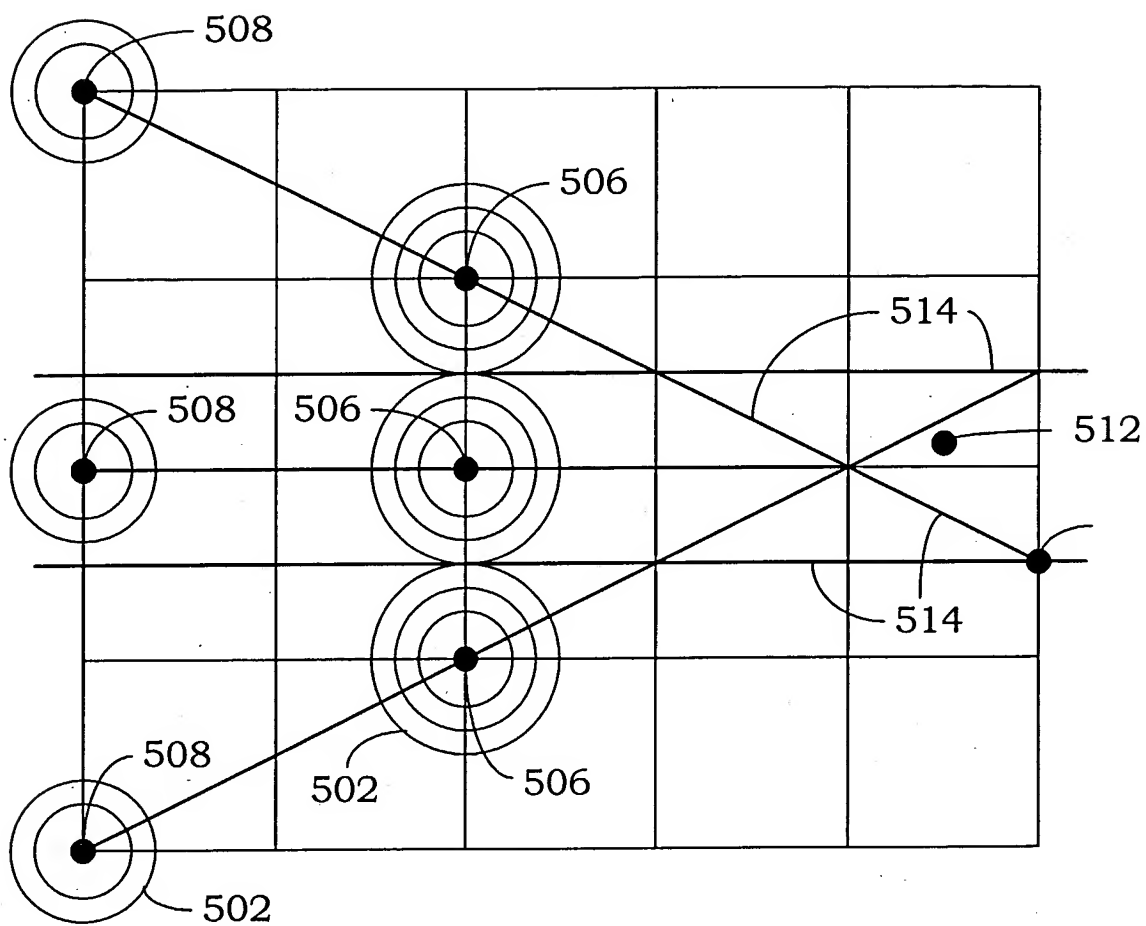


Fig. 29

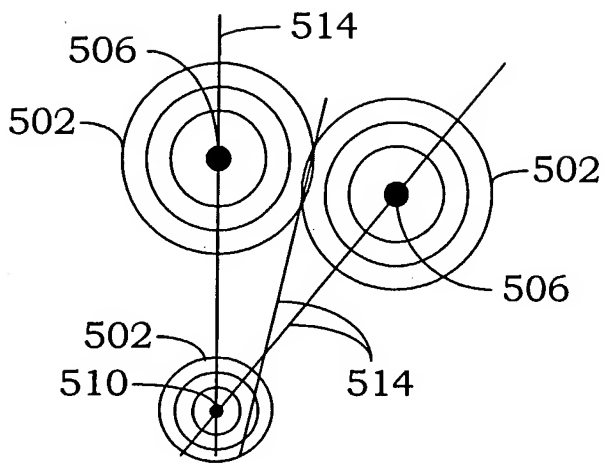


Fig. 30

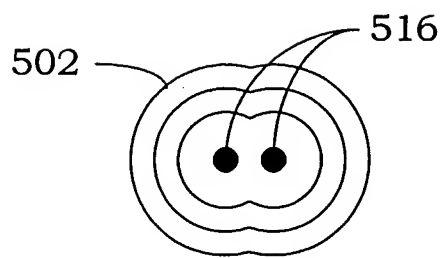


Fig. 31

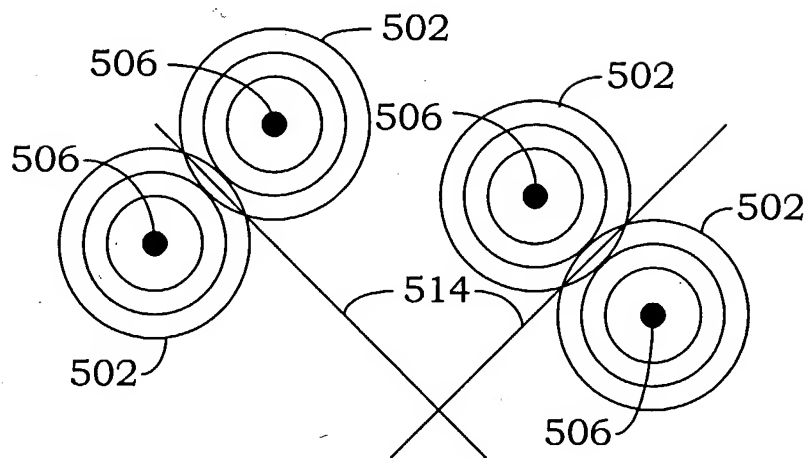


Fig. 32

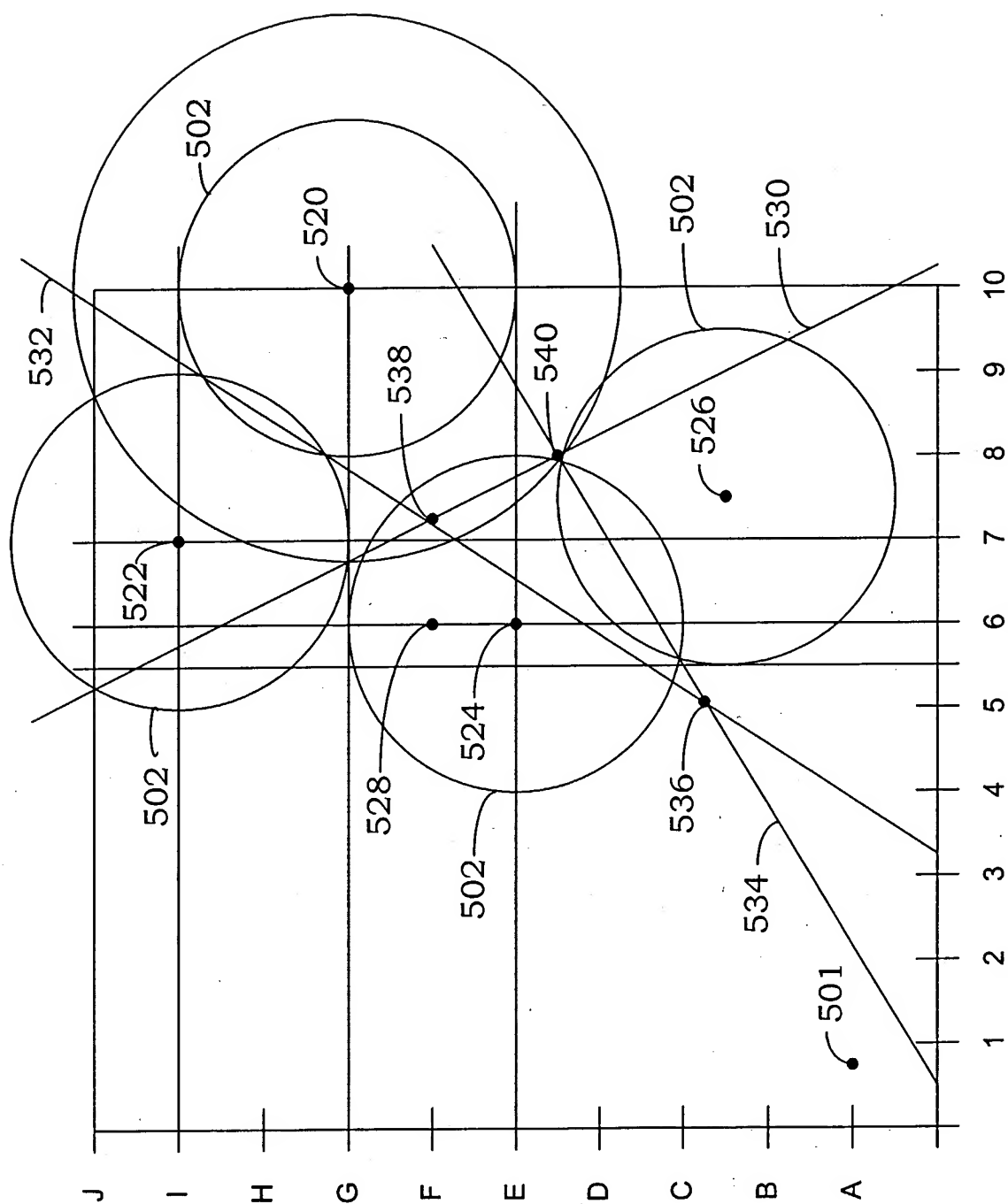


Fig. 33

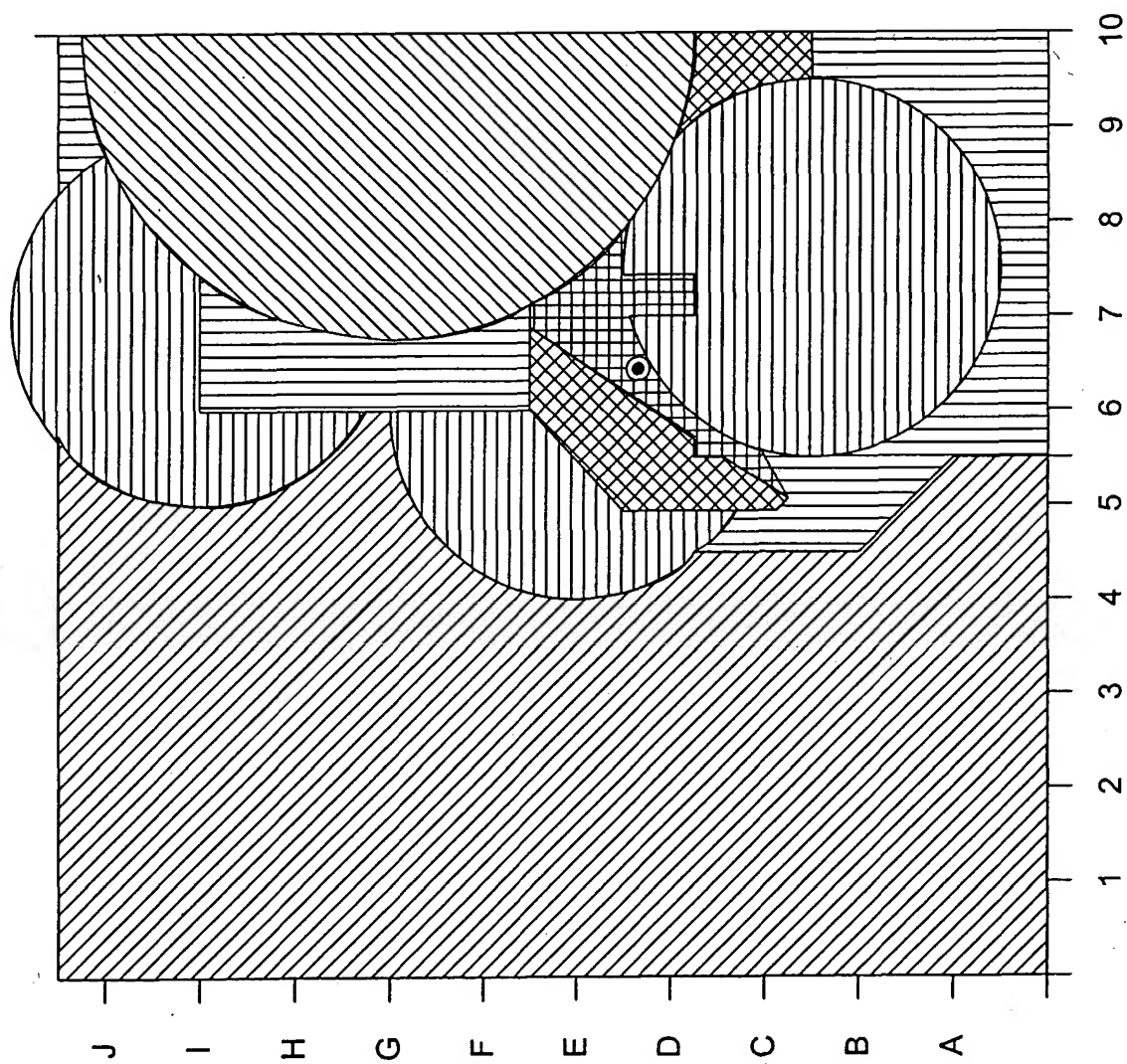


Fig. 34

